

粒状体の変形シミュレーション解析

東北大学工学部 学生員 ○ 荒木一司

正員 岸野祐次

学生員 李田康人

1. はじめに

粒状体の変形機構を構成基本式を調べる目的で、従来より種々のシミュレーション解析が行われているが、従来的アロー-4に至るところとしては、二次元的な粒子モデルによるものが殆どであるといえよう。実験的には光弹性粒子を用いたものか、力の伝達経路と個々の粒子の変形の双方を知ることができることから、複数の研究機関において研究が進められてきている。しかし、この光弹性実験による方法は、多数の粒子のパッキング等、非常に手間のかかるものであり、多くの実験を積重ねることが容易ではない。これに対して、最近 Cundall と Strack によって開発された粒子モデルの数値実験の方法は条件を仕事に与えて結果を出すことが容易であり、実験を補完するものとして有用であると考えられる。本文においては、従来より行ってきた光弹性二軸圧縮試験に対する数値シミュレーション解析について述べる。

2. 解析方法

まず本文で用いたCundallモデルの概要を示す。このモデルは、図-1に示したように接点において4種の要素で結合された粒子の集合体について多自由度振動方程式と逐次演算により解こうとするものである。図-2において粒子 i 、 j の接点を P_x 、 P_y とする。 P_x 、 P_y に対する相対速度を法線方向 \vec{n} 、接線方向 \vec{t} とすると、ある時刻 t における法線、接線方向のベクトルによると $(F_n)_i$ 、 $(F_t)_i$ と粘着力 $(D_n)_i$ 、 $(D_t)_i$ は、 $(F_n)_i = (F_n)_{i-at} + K_n \cdot \vec{n} \cdot \vec{v}_i \cdots (1)$

$$(F_t)_i = (F_t)_{i-at} + K_t \cdot \vec{t} \cdot \vec{v}_i \cdots (2), \quad (D_n)_i = C_n \cdot \vec{n} \cdots (3), \quad (D_t)_i = C_t \cdot \vec{t} \cdots (4)$$

ここで、 K_n 、 K_t はそれぞれ法線、接線方向のベクトル定数、 C_n 、 C_t は法線、接線方向の粘着力定数、 Δt は微小時間増分である。粒子 i に働く全ての力のベクトル和を \vec{F}_i とすると、ニュートンの第2法則より次式が導かれます。

$$M \ddot{x}_i = f_i + M g_i \cdots (5), \quad I \ddot{\theta}_i = R_z \Sigma (F_n)_i \cdots (6), \quad T = \tau - L \quad \vec{g} = (0, -g)$$

M は質量、 I は慣性モーメント、 R_z は粒子の半径、 θ は粒子の回転角である。
式(5)、(6)を差分近似して x_i 、 \dot{x}_i 、 θ_i 、 $\dot{\theta}_i$ を求め 繰り返し計算を行ふ。また、エール・ワーロンの破壊規律 $(F_b)_{max} = F_s \cdot \tan \phi + C$ ($(F_b)_{max}$: F_s の最大値、 ϕ : 粒子間摩擦角、 C : 粘着力) を適用して $(F_n)_i > (F_b)_{max}$ のとき $(F_n)_i = (F_b)_{max}$ とする。

解析の対象としたモデルは図-4に示したように3種の半径($R = 6, 8, 10\text{mm}$)の円粒子(密度 $\rho = 2.65\text{ g/cm}^3$)の集合体である(粒子総数46)。粒子パッキングの方法はまず各粒子が重なりないようにして、領域に人為的に配置した。次に、上述の方法を用いて、底面と側壁を固定した状態で重力の作用によつて自然落下をはじませた後、水平方向の拘束力が、左右よりそれぞれ 20N で、主応力比 σ_1/σ_3 (σ_1 : 鉛直方向、 σ_3 : 水平方向) が 1 となる状態まで変形をさせ、それを初期状態とした。同一の初期状態に対し、粒子間摩擦角を 30° 、 15° と変え、解析を行つた。解析に用いたその他定数について次のように定めた。 $M = \rho \pi R^2$ 、 $K_n = 1.0 \times 10^4 \text{ N/m}$ 、 $K_t = 5.0 \times 10^3 \text{ N/m}$ である。文献¹⁾を参考して $\Delta t < 2\sqrt{M/K_n}$ とし、 $\Delta t = 10^{-4}\text{ sec}$ とした。また C_n 、 C_t については、Rayleigh減衰を採用し $C_n = \beta \times K_n$ 、 $C_t = \beta \times K_t$ とし、 β の値が $2\sqrt{M/K_n}$ に近づくときに $\beta = 0.0005\text{ sec}$ とした。尚、初期状態での間隙比は、 $\phi = 15^\circ$ 、 30° いずれも 約 $e = 1.4$ である。

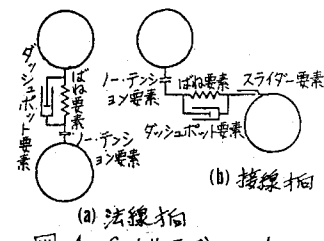


図-1 Cundall モデル no.1

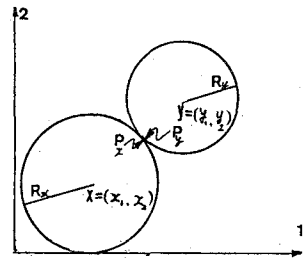


図-2 Cundall モデル no.2

3. 結果および考察

図-3に2つの粒子間摩擦角($\phi = 30^\circ, 15^\circ$)に対する応力比、歪・ダイレタンシー曲線を示す。同図より $\phi = 30^\circ$ のときより $\phi = 15^\circ$ のときへ方が σ_1/σ_2 のピーク値は小さく、体積歪は大きい値を示している。これらは、 $\phi = 15^\circ$ の場合、粒子間にすべりが生じやすく粒子再配列が比較的容易であることによるものと考えられる。

図-4に、図-3中の②～⑦各点に対応する各粒子の位置ならびに接触力の分布状態を示す。④→⑤、⑤→⑥の粒子再配列を伴う軟化の過程について次へことが考察される。⑥のA-A'、粒子配列近傍の変化が他の部分に比べて顕著であり、この配列の変化が体積増加に大きく寄与している。また、A-A'の粒子列は、粒子間の相対的な回転により配列の変化を起していることが注目される。

図-5に、有効接触角分布の変化を示す。ピーグ時には、主軸方向に集中することが観察される。このことは、特に $\phi = 15^\circ$ より 30° の場合に顕著であり、後者より大きな接触力分布の異方性に耐え得ることを示している。一方、ピーグ後の変形過程については $\phi = 15^\circ$ の場合、 30° よりも変化が小さい。これは、粒子のすべりが生じやすいために再配列・安定化が容易であり、

$\phi = 30^\circ$ の場合のように急激な粒子の再配列が生じ難いためと思われる。

4. あとがき

本文においては、Cundallモデルを用いて粒状体の二軸圧縮試験に対応する数値シミュレーションを試みた。本文に示されているように、このように数値実験は粒状体の変形を調べる上でかなり有用であると思われる。しかしCundallモデルにおいては、諸定数の選択方が結果に大きな影響を及ぼすのでこれらの決定方法についてはより詳細な検討が必要であると考えられる。なお、今後粒子の個数を増やし解析の精度を向上させたいと考えている。

参考文献 1) P.A.Cundall and O.D.L.Strack:

A discrete numerical model for granular assemblies, Geotechnique,

29(1979), 47-65 2) 基地、佐武、石塚：

光弾性実験による粒状体力学の一考察, 土木学会第37回年講概要集

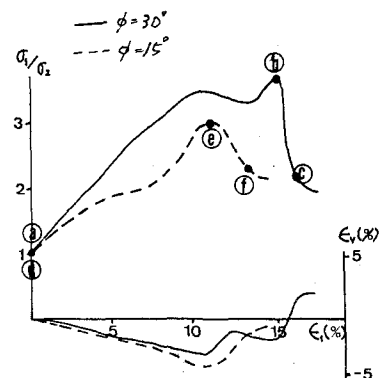


図-3 応力比・歪・ダイレタンシー曲線

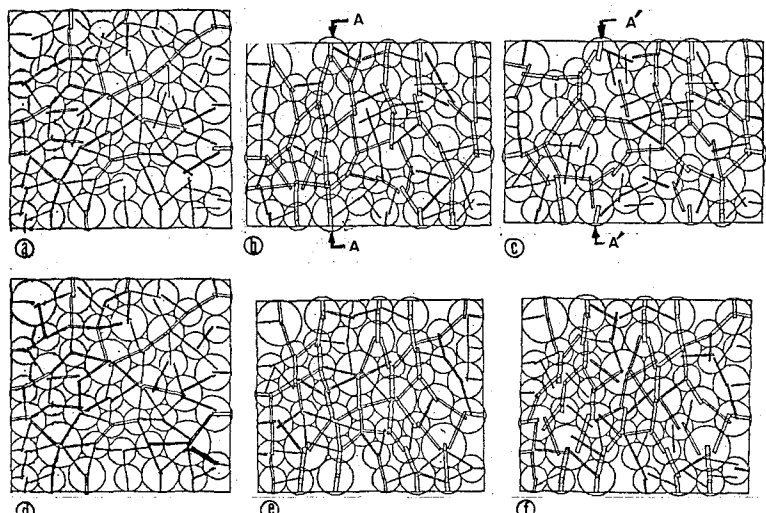


図-4 各粒子の位置ならびに接触力の分布状態

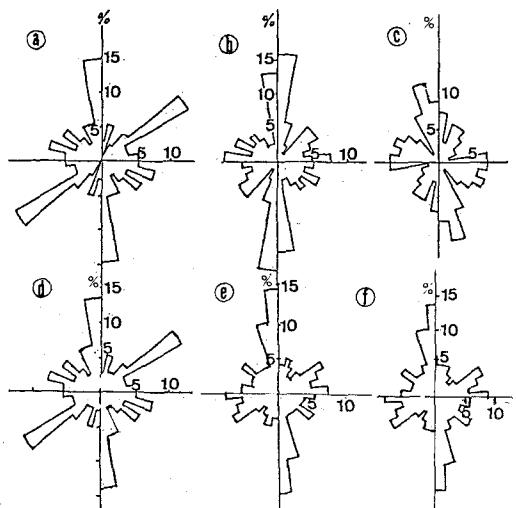


図-5 有効接觸角分布